

### 3 Verteilungsfunktionen (Teil 1)

#### 3.1 Erzeugung von Zufallsgrößen (LK 8.2)

##### 3.1.1 Problemstellung

###### Messung

Gegeben: Stichproben (=Realisierungen)  $X_i$  der ZV  $X$

Gesucht: VF  $F(x)$

###### Simulation

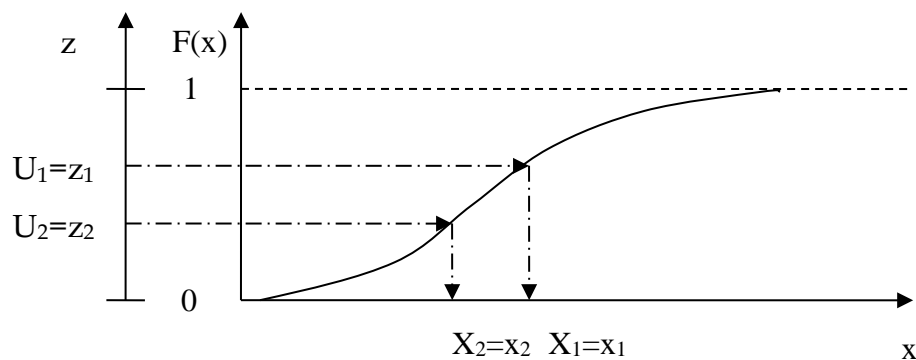
Gegeben: VF  $F(x)$

Gesucht: Erzeugung von Stichproben  $X_i$  der ZV  $X$

##### 3.1.2 Prinzipielle Vorgehensweise

- Erzeugung von  $U(0,1)$  verteilten Zufallszahlen durch einen Zufallszahlengenerator (z.B. Pseudozufallszahlen durch Kongruenzmethoden, siehe Kapitel 17)
- Transformation dieser Zufallszahlen in gewünschte Stichprobe mit VF  $F(x)$

### 3.1.3 Inversionsmethode (LK 8.2.1)



- Realisierung einer Zufallszahl  $z_i \sim U(0,1)$
- Transformation von  $z_i$  in eine Stichprobe  $X_i$  gemäß der VF  $F(x)$ :

$$z_i = F(x_i) \rightarrow x_i = F^{-1}(z_i)$$

- Beispiel: Exponentielle VF
  - $z_i = F(x_i) = 1 - e^{-\lambda \cdot x_i} \rightarrow x_i = -\frac{1}{\lambda} \ln(1 - z_i) = -\frac{1}{\lambda} \ln(z_i^*)$
  - Aus Symmetriegründen  $z_i^* = z_i$  möglich

- Problem:  $F^{-1}(z)$  nicht immer analytisch ermittelbar

Lösung durch andere direkte Methoden: Ersatzverteilung durch

- Komposition aus ZV mit invertierbaren VF (LK 8.2.2)
  - Erlang-verteilte ZV: Summe (LK 8.2.3) von exponentiellen ZV
  - Hyperexponentiell verteilte ZV: Zufällige Wahl von exponentiellen ZV mit unterschiedlichem Parameter
- invertierbare Approximation einer Verteilungsfunktion (z.B. rationale Funktion)
  - Abramowitz & Stegun: Handbook of Mathematical Functions

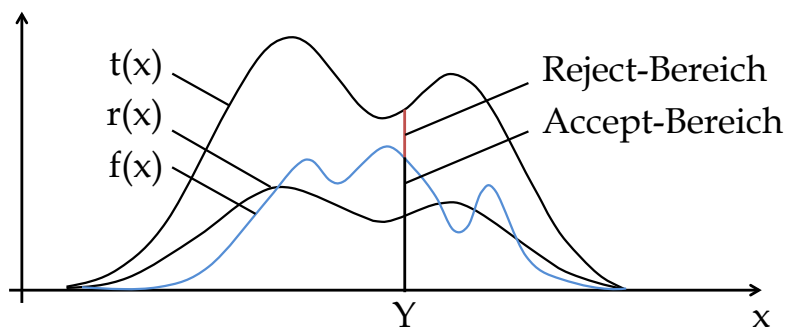
Bei manchen Verteilungen nicht oder nicht effizient (Rechenzeit) anwendbar

### 3.1.4 Accept-Reject-Methode (LK 8.2.4)

- Indirekter Ansatz
  - Erzeuge eine Zufallszahl und generiere eine Stichprobe  $Y$
  - Erzeuge eine weitere Zufallszahl und ermittle dadurch, ob  $Y$  als gesuchte Stichprobe  $X$  genommen werden kann
- Voraussetzung
  - Majorante  $t(x)$  von  $f(x)$ , d.h.  $\forall x: t(x) \geq f(x)$ 
    - Die Integralfunktion von  $t(x)$  soll leicht invertierbar sein
    - $t(x)$  ist i.A. keine Dichtefunktion wegen

$$c = \int_{-\infty}^{\infty} t(x) dx \geq \int_{-\infty}^{\infty} f(x) dx = 1$$

- Dichtefunktion  $r(x)$  durch Normierung:  $r(x) = \frac{1}{c} \cdot t(x)$
- Invertierbare Verteilungsfunktion:  $R(x) = \int_{-\infty}^x r(t) dt$



- Algorithmus zur Erzeugung der ZV  $X$ 
  - Erzeuge  $Y$  gemäß Verteilungsfunktion  $R(x)$
  - Erzeuge  $U \sim U(0,1)$ , unabhängig von  $Y$
  - Entscheide
    - $X=Y$  falls  $U \leq \frac{f(Y)}{t(Y)}$  (Accept)
    - Ansonsten verwirfe  $Y$  (Reject) und erneuter Versuch
- $Y$  wird akzeptiert, falls Punkt  $(Y, U \cdot t(Y))$  unter der Dichtekurve  $f(x)$  liegt.
- Wichtig für gute Effizienz:  $t(x)$  eng an  $f(x)$  anliegend

- Beweis der Gültigkeit des Algorithmus: LK Appendix 8A

- $X \sim f(x)$

- Majorante:  $t(x) \geq f(x)$

- $Y \sim r(x) = \frac{t(x)}{c} = \frac{t(x)}{\int_{-\infty}^{\infty} t(x) dx}$

- Ereignis A:  $Y=y$  wird angenommen  $\Leftrightarrow U \leq \frac{f(y)}{t(y)}$  mit  $U \sim U(0,1)$

$$\Rightarrow P(A | Y = y) = \frac{f(y)}{t(y)}$$

- $P(X \leq x) = P(Y \leq x | A) = \frac{P(A, Y \leq x)}{P(A)} =$

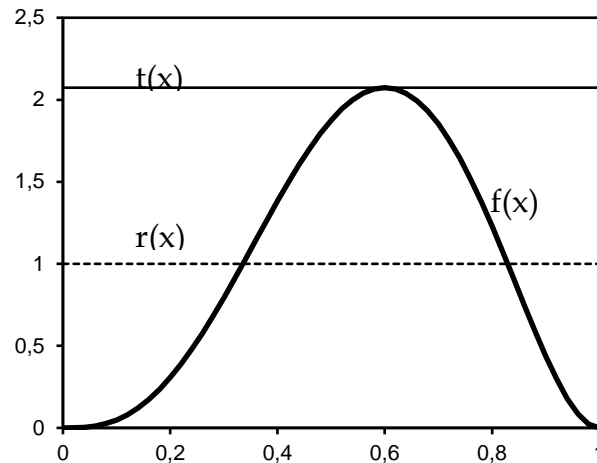
$$\frac{\int_{-\infty}^x P(Y \leq x, A | Y = y) \cdot r(y) dy}{\int_{-\infty}^{\infty} P(A | Y = y) \cdot r(y) dy} =$$

$$= \frac{\int_{-\infty}^x P(A | Y = y) \cdot \frac{t(y)}{c} dy}{\int_{-\infty}^{\infty} \frac{f(y)}{t(y)} \cdot \frac{t(y)}{c} dy} = \frac{\int_{-\infty}^x \frac{f(y)}{t(y)} \cdot \frac{t(y)}{c} dy}{\int_{-\infty}^{\infty} \frac{f(y)}{t(y)} \cdot \frac{t(y)}{c} dy} =$$

$$\frac{\frac{1}{c} \int_{-\infty}^x f(y) dy}{\frac{1}{c}} = \int_{-\infty}^x f(y) dy = F(x) \quad \text{q.e.d.}$$

- Beispiel: Erzeugung von ZV gemäß der beta(3,4) Verteilungsfunktion

$$f(x) = \begin{cases} 60x^3(1-x)^2 & 0 \leq x \leq 1 \\ 0 & \text{sonst} \end{cases}$$



- Verteilungsfunktion ist Polynom höherer Ordnung und schwer zu invertieren.

- Maximum: ( 0.6 ; 2.0736 )

$$\text{Majorante: } t(x) = \begin{cases} 2.0736 & 0 \leq x \leq 1 \\ 0 & \text{sonst} \end{cases}$$

$$\Rightarrow c = \int_0^1 t(x) dx = 2.0736$$

$$\Rightarrow r(x) = \begin{cases} 1 & 0 \leq x \leq 1 \\ 0 & \text{sonst} \end{cases} \sim U(0,1)$$

- Erzeugung der Zufallszahlen:

- $Y \sim U(0,1)$

- $U \sim U(0,1)$

- $U \leq \frac{60Y^3(1-Y)^2}{2.0736} ?$

## 3.2 Kontinuierliche Verteilungsfunktionen (LK 6.2.2, 6.2.4 und 8.3)

### 3.2.1 Gleichverteilung: ZV $X \sim U(a,b)$ (LK 8.3.1)

- VDF:  $f(x)=1/(b-a)$ ,  $X \in [a; b]$
- Range  $[a, b]$
- VF:  $F(x)=(x-a)/(b-a)$
- $E[X]=(a+b)/2$
- $VAR[X]=(b-a)^2/12$
- Mode: --
- Erzeugung durch Inversion:  $U \sim U(0,1)$ ,  $X = a + (b - a)U$ .

### 3.2.2 Exponentialverteilung: ZV $X \sim \text{expo}(\lambda)$ (LK 8.3.2)

- VDF:  $f(x) = \lambda \cdot e^{-\lambda \cdot x}$  für  $x \geq 0$
- VF:  $F(x) = 1 - e^{-\lambda \cdot x}$
- Range:  $[0, \infty)$
- $E[X]=1/\lambda$
- $VAR[X]=1/\lambda^2$
- $c_{\text{var}}=1$
- Mode: 0
- Erzeugung durch Inversion:  $U \sim U(0,1)$ ,  $X = -\ln(U)/\lambda$
- Exponentiell verteilte Zwischenankunftszeiten ergeben einen **Poisson-Prozess**

#### 3.2.2.1 Definition: Rate

- Wahrscheinlichkeit, dass ein Ereignis innerhalb eines Intervalls  $dt$  eintritt:  $P(A \leq dt)$
- Rate=Wahrscheinlichkeit/Intervalllänge  $dt$ , wenn die Intervalllänge  $dt$  infinitesimal klein wird:  $\lim_{dt \rightarrow 0} \frac{P(A \leq dt)}{dt} = \lambda$
- Die Rate der exponentiellen Verteilungsfunktion erfüllt diese Definition:

$$\lim_{dt \rightarrow 0} \frac{1 - e^{-\lambda \cdot dt}}{dt} = \lim_{dt \rightarrow 0} \frac{1 - \left(1 - \frac{\lambda \cdot dt}{1!} + \frac{(\lambda \cdot dt)^2}{2!} - \dots\right)}{dt} = \lambda$$

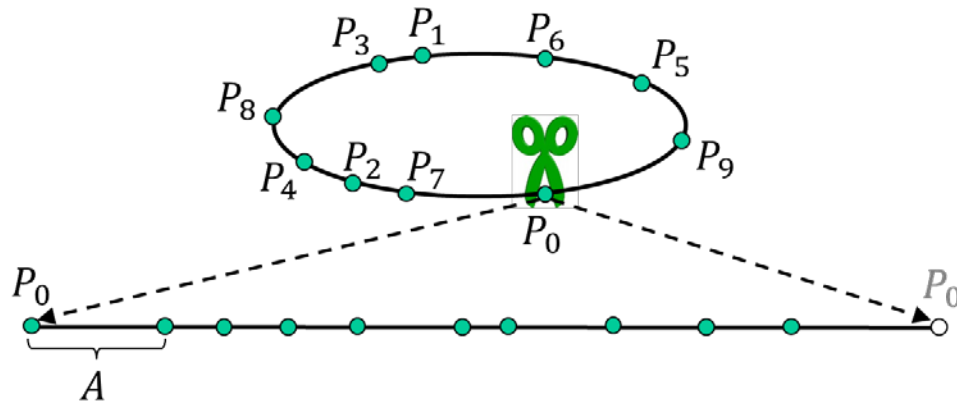
(hint: <http://de.wikipedia.org/wiki/Taylorreihe>)

### 3.2.2.2 Anwendung: Abstand von zufälligen (Beobachtungs)Punkten

Problem: Punkte sollen zufällig mit einem mittleren Abstand  $\Delta$  und mit gleicher Dichte über eine beliebig lange Strecke verteilt sein. Welcher Verteilungsfunktion folgt der Abstand zwischen den Punkten?

Lösung

- Gegeben sei ein Kreis der Länge  $n \cdot \Delta$  mit  $n$  zufälligen Punkten  $P_i$ , welche zufällig auf dem Kreis verteilt sind.



**Abbildung 1:** Der Abstand zwischen zufälligen Punkten auf einem Kreis ist gemäß Konstruktion identisch verteilt und entspricht der Zufallsvariablen  $A$ .

- Wir schneiden den Kreis o.B.d.A. an Punkt  $P_0$  auf.
- Die Zufallsvariable  $D_i$  (für  $0 < i < n$ ) bezeichne die Entfernung von  $P_i$  zu  $P_0$  im Uhrzeigersinn.
- Gemäß Konstruktion ist sie zufällig und uniform zwischen 0 und  $n \cdot \Delta$  verteilt und kann somit mit  $D_i(t) = \frac{t}{n \cdot \Delta}$  angegeben werden.
- Die Zufallsvariable  $A$  bezeichne die Entfernung zwischen Punkt  $P_0$  und seinem Nachbarn im Uhrzeigersinn.
- Die Verteilung von  $A = \min_{0 < i < n} (D_i)$  berechnet sich berechnet als

$$A(t) = 1 - \prod_{0 < i < n} (1 - D_i(t)) = 1 - \prod_{0 < i < n} \left(1 - \frac{t}{n \cdot \Delta}\right) = 1 - \left(1 - \frac{t}{n \cdot \Delta}\right)^n.$$

- Für  $n \rightarrow \infty$  erhalten wir  $A(t) = \lim_{n \rightarrow \infty} 1 - \frac{\left(1 - \frac{t}{n \cdot \Delta}\right)^n}{\left(1 - \frac{t}{n \cdot \Delta}\right)} = 1 - e^{-\frac{t}{\Delta}}$  für ein festes  $t$ .
- Die Entfernung zwischen zufällig verteilten Punkten mit durchschnittlichem Abstand  $\Delta$  folgt einer exponentiell Verteilungsfunktion mit Rate  $\frac{1}{\Delta}$ .

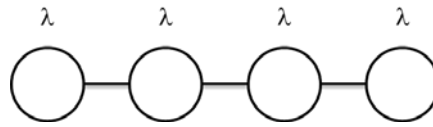
Folgerung 1: Zufällig und mit gleicher Dichte über eine beliebig lange Strecke verteilte Punkte können durch einen Poisson-Prozess realisiert werden.

Besonderheit: Gedächtnislosigkeit (Vorwärtsrekurrenzzeit  $\sim \text{expo}(\lambda)$ )

Folgerung 2: Bei einem Poisson-Prozess ist zu jedem Zeitpunkt die Dauer bis zum nächsten Ereignis unabhängig von der Zeit seit dem letzten Ereignis.

### 3.2.3 Erlang-Verteilung: ZV $X \sim k\text{-Erlang}(\lambda)$ (LK 8.3.3)

- ZV ist Summe von  $k$   $\text{expo}(\lambda)$  verteilten ZVs (Phasen)



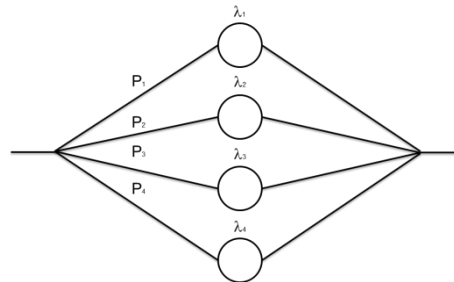
**Abbildung 3-2: Phasendiagramm einer Erlang-4-Verteilung als Serienschaltung von 4 exponentiell verteilten Phasen.**

- VDF: 
$$f(x) = \begin{cases} \frac{(\lambda x)^{k-1}}{(k-1)!} \cdot \lambda \cdot e^{-\lambda x} & x \geq 0 \\ 0 & x < 0 \end{cases}$$
- VF: 
$$F(x) = \begin{cases} 1 - e^{-\lambda x} \cdot \sum_{0 \leq i < k} \frac{(\lambda x)^i}{i!} & x \geq 0 \\ 0 & x < 0 \end{cases}$$
- Range:  $[0, \infty)$
- $E[X] = k/\lambda$
- $\text{VAR}[X] = k/\lambda^2$
- $c_{\text{var}}[X] = 1/\sqrt{k}$
- Mode:  $\frac{k-1}{\lambda}$
- Erzeugung durch Inversion:
 
$$U_i \sim U(0,1), X = \sum_{0 \leq i < k} -\frac{1}{\lambda} \cdot \ln(U_i) = -\frac{1}{\lambda} \cdot \ln\left(\prod_{0 \leq i < k} U_i\right)$$



### 3.2.4 Hyperexponentialverteilung: ZV $X \sim H(\lambda_i, p_i, 0 \leq i < k)$

- ZV ist Kombination von  $k$   $\text{expo}(\lambda)$  verteilten ZVs (Phasen)



**Abbildung 3-3: Phasendiagramm einer Hyperexponentiellen Verteilung: Parallelschaltung von 4 exponentiell verteilten Phasen, von denen genau eine ausgeführt wird. Vorgegebene Wahrscheinlichkeiten beeinflussen die zufällige Auswahl dieser Phase.**

- VDF:  $f(x) = \sum_{0 \leq i < k} p_i \cdot \lambda_i \cdot e^{-\lambda_i \cdot x}$
- VF:  $F(x) = 1 - \sum_{0 \leq i < k} p_i \cdot e^{-\lambda_i \cdot x}$
- Range:  $[0, \infty)$
- $E[X] = \sum_{0 \leq i < k} (p_i / \lambda_i)$
- $c_{var}[X] = \sqrt{\frac{2 \cdot \sum_{0 \leq i < k} (p_i / \lambda_i^2)}{(\sum_{0 \leq i < k} (p_i / \lambda_i))^2}} - 1$  (aus Tran-Gia, Kapitel 1.3)
- Erzeugung durch  $X = \begin{cases} X_0 \sim \text{expo}(\lambda_0) & \text{with probability } p_0 \\ \dots & \dots \\ X_{k-1} \sim \text{expo}(\lambda_{k-1}) & \text{with probability } p_{k-1} \end{cases}$  mit  $\sum_{0 \leq i < k} p_i = 1$ 
  - Erzeuge Zufallszahlen  $U_1, U_2$
  - $i = \min(m: \sum_{0 \leq j \leq m} p_j \geq U) //$  bestimme den Phasenindex
  - Benutze  $U_2$  zur Erzeugung von  $X \sim \text{expo}(\lambda_i)$
- Spezialfall: Hyperexponentielle Verteilung 2. Ordnung ( $H_2$ ) zur Generierung einer ZV mit vorgegebenem  $E[X]$  und  $c_{var}[X]$ 
  - Symmetriebedingung:  $\frac{p_1}{\lambda_1} = \frac{p_2}{\lambda_2}$

$$\text{Geeignete Parameterwahl: } \lambda_{1,2} = \frac{1}{E[X]} \cdot \left( 1 \pm \sqrt{\frac{c_{var}^2 - 1}{c_{var}^2 + 1}} \right)$$

### 3.2.5 Normalverteilung: ZV $X \sim N(\mu, \sigma^2)$ (LK 8.3.6)

- $f(x) = \frac{1}{\sqrt{2 \cdot \pi \cdot \sigma^2}} \cdot e^{-\left(\frac{(x-\mu)^2}{2\sigma^2}\right)}$
- Range:  $(-\infty, \infty)$
- $E[X] = \mu$ ,  $\text{VAR}[X] = \sigma^2$
- Skalierbarkeit:  $X \sim N(0,1) \Rightarrow (\mu + \sigma X) \sim N(\mu, \sigma^2)$ .
- Beispiel

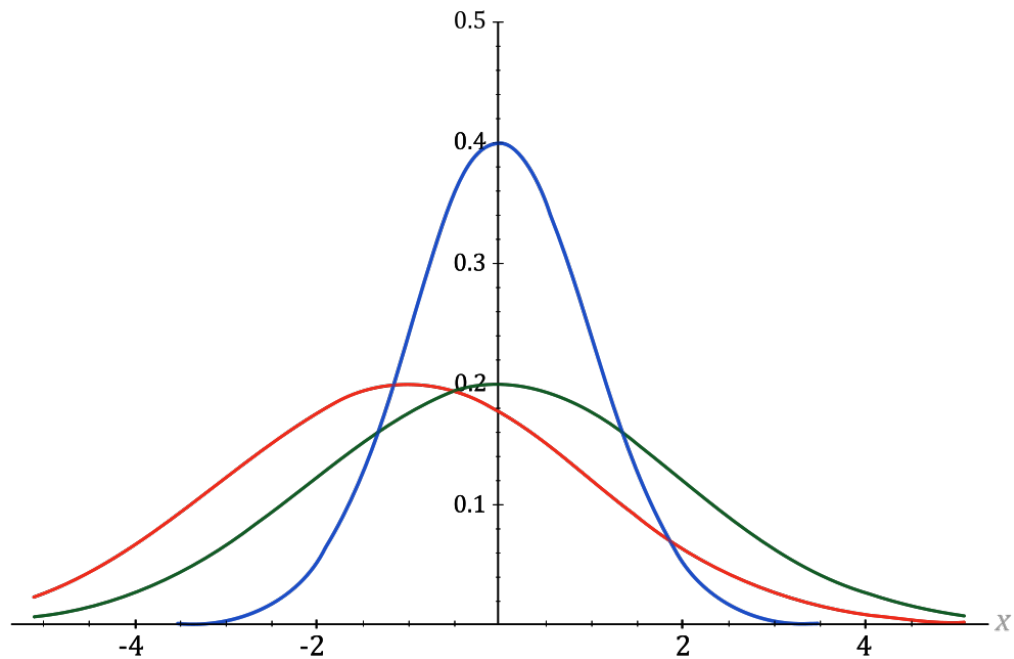


Abbildung 4: Dichtefunktionen der Normalverteilungen  $N(0,1)$ ,  $N(0,2)$ ,  $N(-1,2)$ .

- Erzeugung durch Accept-Reject Methode

$U_1, U_2 \sim U(0,1)$ , wobei  $U_1$  und  $U_2$  unabhängig sein müssen.

$$V_i = 2U_i - 1, W = V_1^2 + V_2^2.$$

falls  $W \leq 1$

dann Accept:  $Y = \sqrt{\frac{-2 \ln W}{W}}$ ,  $X_1 = V_1 \cdot Y$ ,  $X_2 = V_2 \cdot Y$  (2 Zufallsvariablen)

sonst Reject

### 3.3 Diskrete Verteilungen (LK 6.2.3 und 8.4)

#### 3.3.1 Deterministische Verteilung mit Parameter $\gamma$

- Verteilung:  $x(i) = \begin{cases} 1 & \text{für } i = \gamma \\ 0 & \text{sonst} \end{cases}$
- $E[X] = \gamma$
- $\text{VAR}[X] = 0$
- Range:  $\gamma$
- Mode:  $\gamma$

#### 3.3.2 Diskrete Gleichverteilung: $ZV \sim \text{DU}(i,j)$ (LK 8.4.2)

- Verteilung:  $p(k) = \begin{cases} \frac{1}{j-i+1} & \text{if } k \in \{i, i+1, \dots, j\} \\ 0 & \text{otherwise} \end{cases}$
- Range:  $i \leq k \leq j$
- $E[X] = (i+j)/2$
- $\text{VAR}[X] = \frac{(j-i+1)^2 - 1}{12}$
- Mode: --
- Erzeugung durch Inversion:  
 $U \sim U(0, 1)$   
 $X = i + \lfloor (j - i + 1) \cdot U \rfloor$

#### 3.3.3 Beliebige diskrete Verteilung (LK 8.4.3)

- $p(x) = \begin{cases} p_k & \text{if } x = x_k, 0 \leq k < n \\ 0 & \text{otherwise} \end{cases}$
- Range: beliebig aber diskret
- Erzeugung durch Inversion:  
 $U \sim U(0,1).$   
 $X = x_k \text{ mit } k = \min(i: \sum_{0 \leq j \leq i} p_j \geq U)$

Hoher Suchaufwand durch intelligente Datenstruktur vermeidbar

### 3.3.4 Bernoulli-Verteilung: $ZV \sim \text{Bernoulli}(p)$ (LK 8.4.1)

- „Einfacher Münzwurf“
- Verteilung:  $p(k) = \begin{cases} 1-p & \text{if } k=0 \\ p & \text{if } k=1 \\ 0 & \text{else} \end{cases}$

- $E[X] = p$

- $\text{VAR}[X] = p \cdot (1-p)$

- $c_{\text{var}} = \sqrt{\frac{1-p}{p}}$

- Mode: 0 bzw. 1

- Erzeugung durch Inversion:

$$U \sim U(0, 1)$$

Falls  $U < p$ , dann  $X = 1$ , sonst  $X = 0$ .

### 3.3.5 Binomial-Verteilung: $ZV \sim \text{Binom}(n, p)$ (LK 8.4.4)

- $p(k) = \binom{n}{k} \cdot p^k \cdot (1-p)^{n-k}$  mit  $\binom{n}{k} = \frac{n!}{k!(n-k)!}$  und  $0 \leq k \leq n, k \in \mathbb{N}_0$

- $E[X] = n \cdot p$

- $\text{VAR}[X] = n \cdot p \cdot (1-p)$

- $c_{\text{var}}[X] = \sqrt{\frac{1-p}{n \cdot p}}$

- Besonderheiten:

- Für  $n \rightarrow \infty$  ist  $\text{Binom}(n, p)$  durch  $N(E[X], \text{VAR}[X])$  approximierbar

- Für  $p \ll 1$  und  $n$  sehr groß ist  $\text{Binom}(n, p)$  durch  $\text{Poisson}(E[X])$  approximierbar

- Erzeugung durch Komposition wegen  $\text{Binom}(n, p) \sim \sum_{0 \leq i < n} \text{Bernoulli}(p)$ :

$$\text{Erzeuge } Y_i \sim \text{Bernoulli}(p), \quad X = \sum_{0 \leq i < n} Y_i$$

- Visualisierung

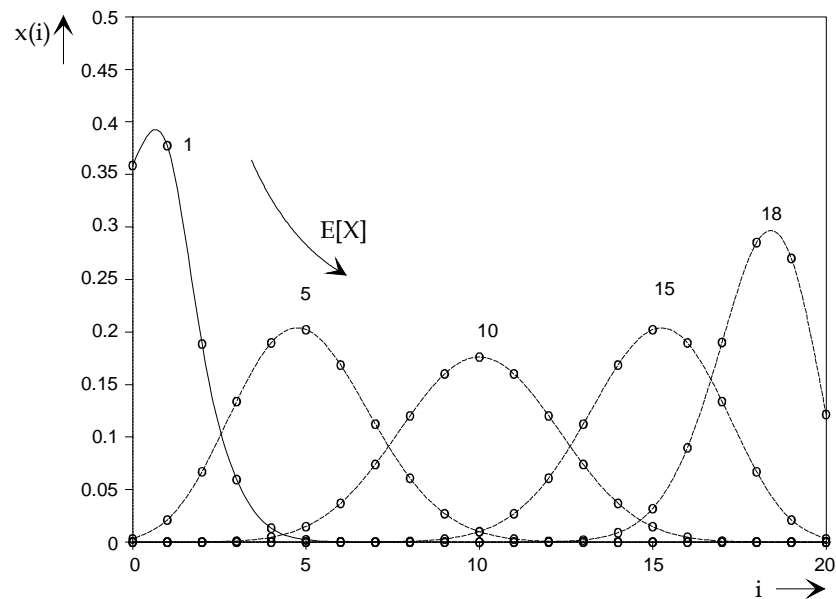


Abbildung 5: Binomialverteilungen.

### 3.3.6 Geometrische Verteilung: $ZV \sim \text{Geom}(p)$ (LK 8.4.5)

- „Anzahl der Fehlversuche bis zum ersten Erfolg eines Bernoulli-Experiments mit Erfolgswahrscheinlichkeit  $p$ “
- $p(k) = (1 - p)^k \cdot p, k \geq 0$
- VF:  $F(x) = 1 - (1 - p)^{\lfloor x \rfloor + 1}$

Beweis: Geometrische Reihe:  $\sum_{i=0}^k q^i = \frac{1 - q^{k+1}}{1 - q}, \sum_{i=0}^{\infty} q^i = \frac{1}{1 - q};$  setze  $q=1-p$ ;

$$F(x) = P(X \leq (k = \lfloor x \rfloor)) = p \cdot \sum_{i=0}^k (1 - p)^i = p \cdot \frac{1 - (1 - p)^{k+1}}{1 - (1 - p)}$$

$$= p \cdot \frac{1 - (1 - p)^{k+1}}{p} = 1 - (1 - p)^{\lfloor x \rfloor + 1}$$

- $E[X] = (1-p)/p$
- $\text{VAR}[X] = (1-p)/p^2$
- $c_{\text{var}}[X] = \frac{1}{\sqrt{(1-p)}}$
- Mode 0

- Erzeugung durch Inversion:

$$U \sim U(0,1)$$

$$X = \left\lceil \frac{\ln(U)}{\ln(1-p)} \right\rceil$$

- Visualisierung

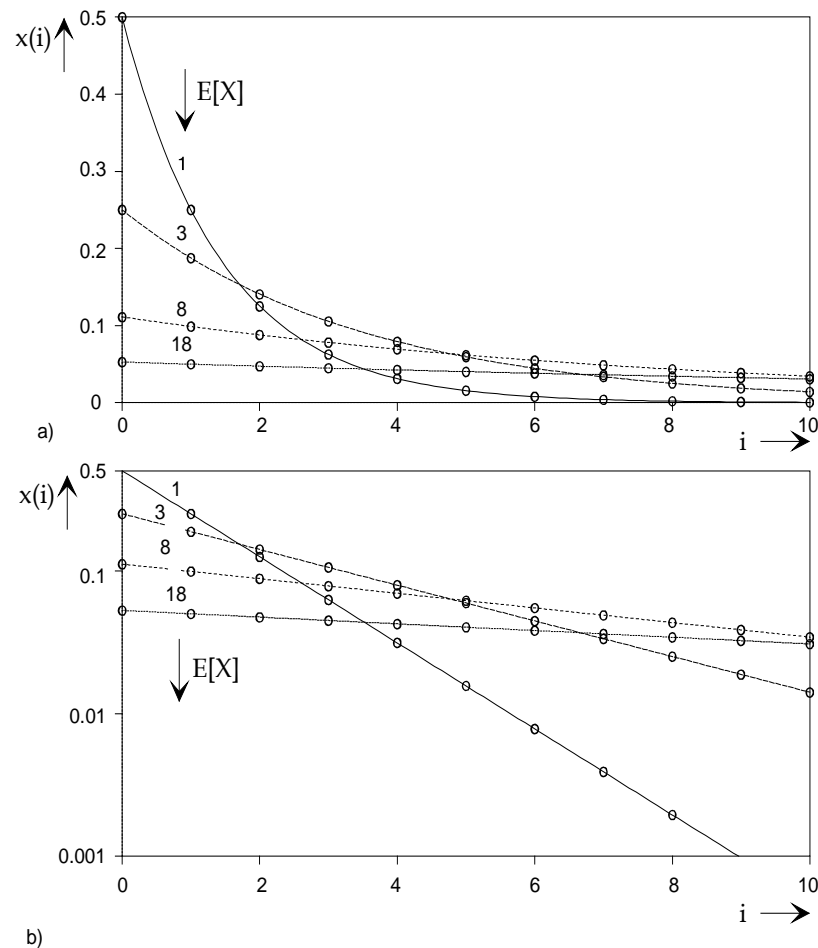


Abbildung 6: Geometrische Verteilungen.

### 3.3.7 „Um 1 Verschoebene“ Geometrische Verteilung

- „Anzahl **aller Versuche** bis das Bernoulli-Experiment mit Erfolgswahrscheinlichkeit  $p$  einen Erfolg zeigt“
- $p(k) = (1-p)^{k-1} \cdot p, k \geq 1$
- $E[X] = (1-p)/p + 1 = 1/p$
- $\text{VAR}[X] = (1-p)/p^2$  (dieselbe wie bei der nicht verschobenen Geom)
- $c_{var}[X] = \sqrt{1-p}$

### 3.3.8 Negativ-binomiale Verteilung: $ZV \sim \text{NegBin}(s,p)$ (LK 8.4.6)

[http://en.wikipedia.org/wiki/Negative\\_binomial\\_distribution](http://en.wikipedia.org/wiki/Negative_binomial_distribution)

- „Anzahl der Fehlversuche bis sich  $s$  Erfolge bei Bernoulli-Experimenten eingestellt haben. Die  $s$  erfolgreichen gehören wie bei der  $\text{Geom}(p)$ -Verteilung nicht dazu!“

- $\text{NegBin}(s,p) \sim \sum_{0 \leq i < s} \text{Geom}(p)$

- $p(k) = \binom{s+k-1}{k} \cdot p^s \cdot (1-p)^k = \binom{-s}{k} \cdot p^s \cdot (-(1-p))^k$

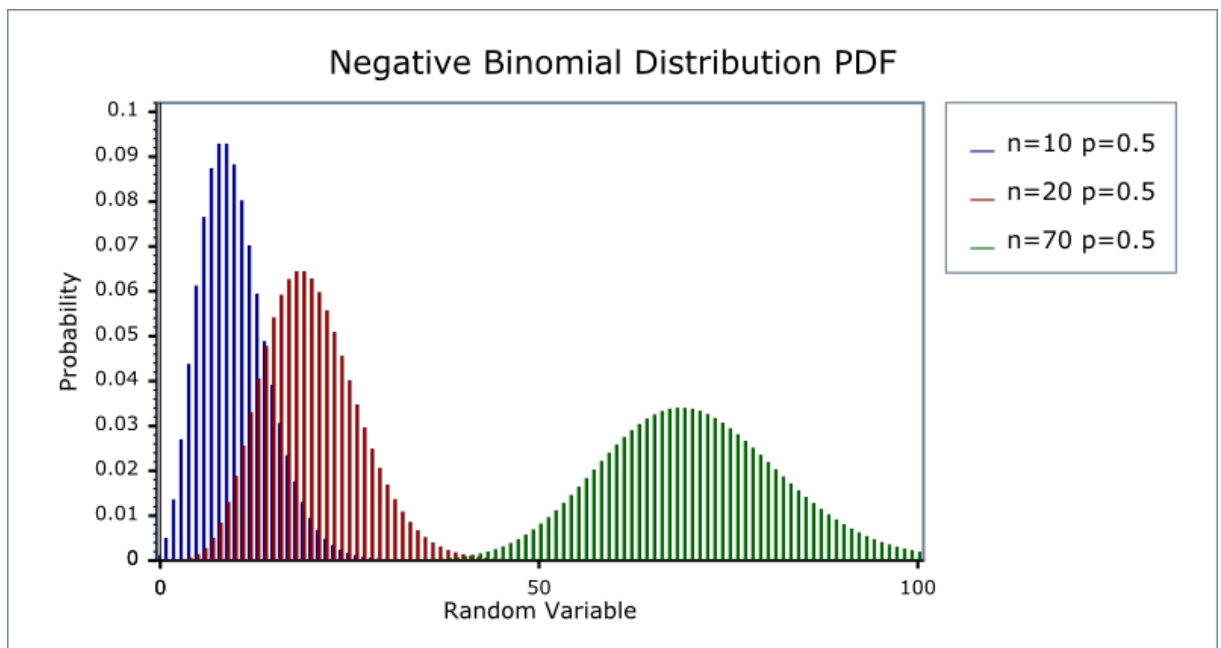
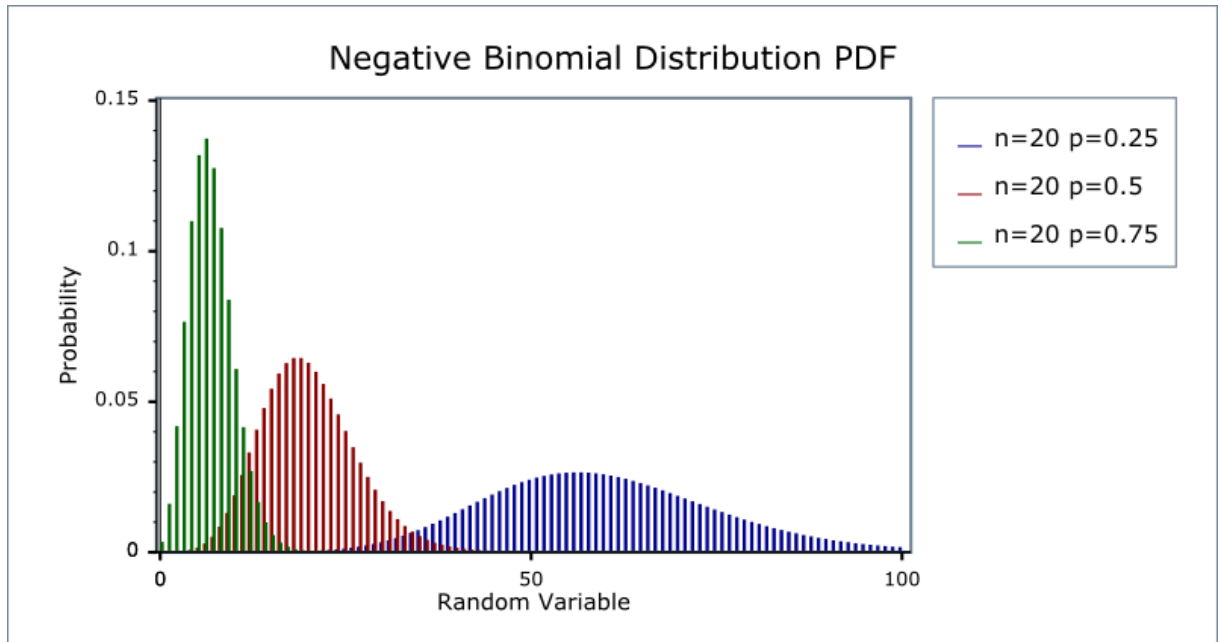
Zur Umformung : <http://de.wikipedia.org/wiki/Binomialkoeffizient>

- $E[X] = s \cdot (1-p) / p$
- $\text{VAR}[X] = s \cdot (1-p) / p^2$
- $c_{\text{var}}[X] = \frac{1}{\sqrt{s \cdot (1-p)}}$
- Mode:  $\begin{cases} y \text{ und } y+1 & \text{falls } y \text{ ganzzahlig} \\ \lfloor y \rfloor + 1 & \text{sonst} \end{cases}$  mit  $y = [s \cdot (1-p) - 1] / p$ ,
- Erzeugung durch Komposition:  
 $Y_1, Y_2, \dots, Y_s \sim \text{geom}(p)$  und unabhängig.  
 $X = Y_1 + Y_2 + \dots + Y_s$ .
- Erweiterung auf reelle  $s$  möglich:  
 $p(k) = \frac{\Gamma(s+k)}{\Gamma(s) \cdot k!} \cdot p^s \cdot (1-p)^k$  im Spezialfall  $s$  ganzzahlig:  $\Gamma(s) = (s-1)!$  (siehe später!)
- Der Grenzwert der Negbin für sehr große  $p$  und  $s$  nähert sich einer Poisson-Verteilung an:

Substituiere  $p = \frac{\omega}{\lambda + \omega}$  und  $s = \omega$

Dann gilt:  $p(k) = \frac{y^k}{k!} \cdot \frac{\Gamma(\omega + k)}{\Gamma(\omega) \cdot (y + \omega)^k} \cdot \frac{1}{\left(1 + \frac{y}{\omega}\right)^\omega}$

und im Grenzfall bekommen wir  $\lim_{\omega \rightarrow \infty} p(k) = \frac{y^k}{k!} \cdot 1 \cdot \exp(-y)$  (Poissonverteilung)



**Abbildung 7: Negativ-binomiale Verteilung: Einfluss der Parameter.**

Quelle:

[http://www.boost.org/doc/libs/1\\_51\\_0/libs/math/doc/sf\\_and\\_dist/html/math\\_toolkit/dist/dist\\_ref/dists/negative\\_binomial\\_dist.html](http://www.boost.org/doc/libs/1_51_0/libs/math/doc/sf_and_dist/html/math_toolkit/dist/dist_ref/dists/negative_binomial_dist.html)



### 3.3.9 Poisson-Verteilung: $ZV \sim \text{Poisson}(y)$ (LK 8.4.7)

- Anzahl der Ankünfte eines Poisson-Prozesses (= exponentielle Zwischenankunftszeiten) mit Rate  $\lambda$  in einem Intervall der Länge  $\tau$  und  $y = \lambda \cdot \tau$

- $p(k) = \frac{y^k}{k!} \cdot e^{-y}$

Mit  $e^y = \sum_{0 \leq k < \infty} \frac{y^k}{k!}$  ist klar, dass es sich um eine Verteilung handelt.

- $E[X] = y$

Beweis:  $E[X] = \sum_{0 \leq k < \infty} k \cdot \frac{y^k}{k!} \cdot e^{-y} = y \cdot e^{-y} \cdot \sum_{1 \leq k < \infty} \frac{y^{k-1}}{(k-1)!} = y \cdot e^{-y} \cdot e^y = y$

- $\text{VAR}[X] = y$

- $c_{\text{var}}[X] = \frac{1}{\sqrt{y}}$

- Mode  $\begin{cases} y \text{ und } y-1 & \text{falls } y \text{ ganzzahlig} \\ \lfloor y \rfloor & \text{sonst} \end{cases}$

- Beispiel

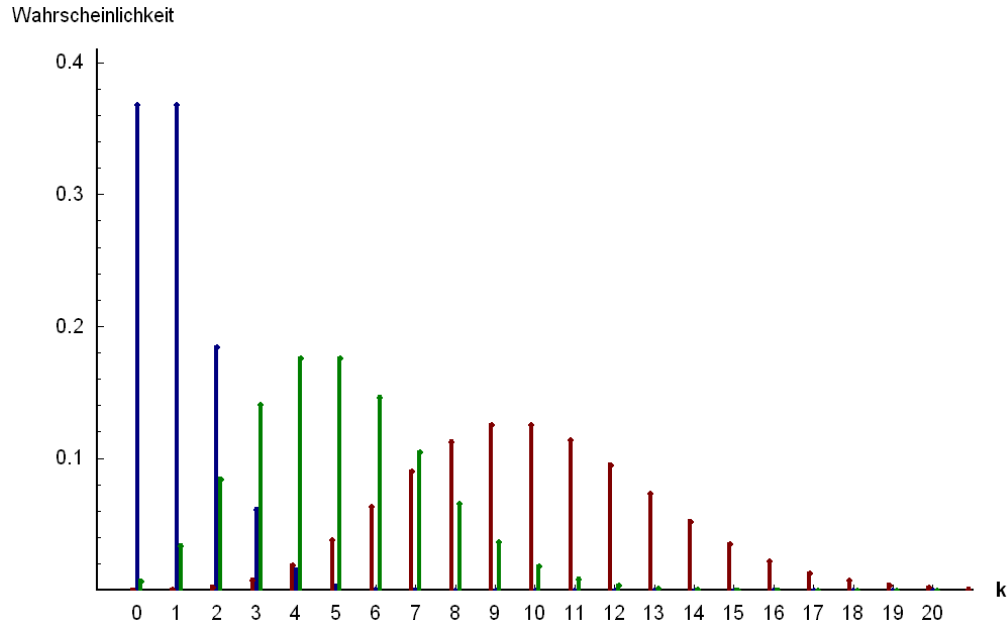


Abbildung 8: Wahrscheinlichkeitsfunktion der Poisson-Verteilung für  $\lambda = 1$  (blau),  $\lambda = 5$  (grün) und  $\lambda = 10$  (rot); Quelle: <http://de.wikipedia.org/wiki/Poisson-Verteilung>

- Erzeugung durch Quasi-Komposition: Idee  $\tau=1 \Rightarrow \lambda=y$

$$Y_j \sim \text{expo}(y) \Rightarrow X = \max \left\{ k : \sum_{j=1}^k Y_j \leq 1 \right\} \sim \text{Poisson}(y).$$

$$\begin{aligned} \sum_{0 \leq j < k} Y_j &\leq 1 < \sum_{0 \leq j \leq k} Y_j \\ \sum_{0 \leq j < k} \left( -\frac{1}{y} \ln(U_j) \right) &\leq 1 < \sum_{0 \leq j \leq k} \left( -\frac{1}{y} \ln(U_j) \right) \\ \ln \left( \prod_{0 \leq j < k} U_j \right) &\geq -y > \ln \left( \prod_{0 \leq j \leq k} U_j \right) \\ \prod_{0 \leq j < k} U_j &\geq e^{-y} > \prod_{0 \leq j \leq k} U_j \end{aligned}$$

Algorithmus:

- $a = e^{-y}, b = 1, k = -1.$
  - Wiederhole
  - $k = k + 1, U_i \sim U(0,1), b = b \cdot U_k$
  - bis  $b \leq a$
  - $X = k$
- Achtung:  $e^{-y}$  kann sehr klein werden. Beispiel:  $y=1000 \Rightarrow e^{-y}=5 \cdot 10^{-435}$

Dann ergeben sich numerische Fehler, die zu falschen Mittelwerten und Varianzen führen. Abhilfe durch clevere Implementierung, die große Zahlen vermeidet.

- $$\begin{aligned} \prod_{0 \leq j < k} U_j &\geq e^{-y} > \prod_{0 \leq j \leq k} U_j \\ e^y \cdot \prod_{0 \leq j < k} U_j &\geq 1 > e^y \cdot \prod_{0 \leq j \leq k} U_j \end{aligned}$$
  - Idee
    - $e^y = (e^{10})^{(y \text{ div } 10)} \cdot e^{(y \bmod 10)}$
    - Multipliziere abwechselnd Zufallszahlen  $U_j$  und  $(y \text{ div } 10)$  Mal  $e^{10}$  bzw.  $e^{(y \bmod 10)}$ , so dass das Produkt nie kleiner als eine gewisse Schranke wird.
  - Implementierung siehe Übung!

### 3.4 Verwandtschaft kontinuierlicher und diskreter Verteilungen



Abbildung 9: Zeitkontinuierlicher Ankunftsprozess.

Wir nehmen an, die Zeit ist kontinuierlich und zu jedem Zeitpunkt ist mit derselben Wahrscheinlichkeitsdichte eine Ankunft möglich. Dies wird in Abbildung 9 illustriert.

- Die Zeit zwischen Ankünften ist exponentiell verteilt mit Rate  $\lambda$  ( $\text{Expo}(\lambda)$ , durchschnittliche Zwischenankunftszeit ist  $1/\lambda$ ).
- Die Zeit, bis sich  $k$  Ankünfte ereignen, ist Erklang- $k$  verteilt ( $\text{Erlang}(k, \lambda)$ ).
- Die Anzahl der Ankünfte innerhalb eines Intervalls fester Länge  $\tau$  ist Poisson-verteilt mit Parameter  $y=\tau*\lambda$  ( $\text{Poisson}(y)$ ).



Abbildung 10: Zeitdiskreter Ankunftsprozess, bei dem rote Slots Ankünfte darstellen.

Wir nehmen an, die Zeit ist in Slots eingeteilt und in jedem Slot ist mit Wahrscheinlichkeit  $p$  eine Ankunft möglich wie Abbildung 10 illustriert.

- Die Anzahl der Slots zwischen Ankünften ist geometrisch  $\text{Geom}(p)$  verteilt mit  $p=1/(E[X]+1)$ .
- Die Anzahl der freien Slots, bis  $s$  Ankünfte geschehen sind, ist negativ-binomial verteilt ( $\text{NegBin}(s,p)$ ).
- Die Anzahl der Ankünfte innerhalb eines Intervalls fester Länge  $n$  ist binomial verteilt ( $\text{Binom}(n,p)$ ).

Somit begründen wir die Verwandtschaft der entsprechenden Verteilungen.

## 3.5 Übersicht behandelter Verteilungen

### 3.5.1 Kontinuierliche Verteilungen

1. Gleichverteilung
2. Exponentielle Verteilung ( $\lambda$ ) ( $cvar=1$ )
  - „zufällige“ Zwischenankunftszeiten (Anrufe)
3. Erlang-k-Verteilung ( $k, \lambda$ ) ( $cvar<1$ )
  - Summe von k exponentiellen Phasen
4. Hyperexponentielle Verteilung ( $cvar>1$ )
5. Normalverteilung ( $\mu, \sigma$ )
  - Summe sehr vieler iid Zufallsvariablen

### 3.5.2 Diskrete Verteilungen

1. Diskrete Gleichverteilung
2. Beliebige diskrete Verteilung
3. Bernoulli-Verteilung Bernoulli(p)
  - Münzwurf
4. Binomial-Verteilung Binom(n,p)
  - Wiederholter Münzwurf
  - Ziehen von Kugeln mit Zurücklegen
  - Ankünfte mit geometrisch verteilten Zwischenankunftszeiten Geom(p) in einem Intervall ganzzahliger Länge n
5. Geometrische Verteilung Geom(p)
  - Wiederholter Münzwurf bis 1 Mal gewonnen wurde
  - ganzzahliges Gegenstück zur exponentiellen Verteilung
6. Negativ-binomiale Verteilung NegBin(s,p)
  - Wiederholter Münzwurf: Anzahl von Fehlversuchen bis s Mal gewonnen wurde
7. Poisson-Verteilung Poisson(y)
  - Anzahl von Ankünften mit exponentiell verteilten Zwischenankunftszeiten in einem Intervall fester Länge